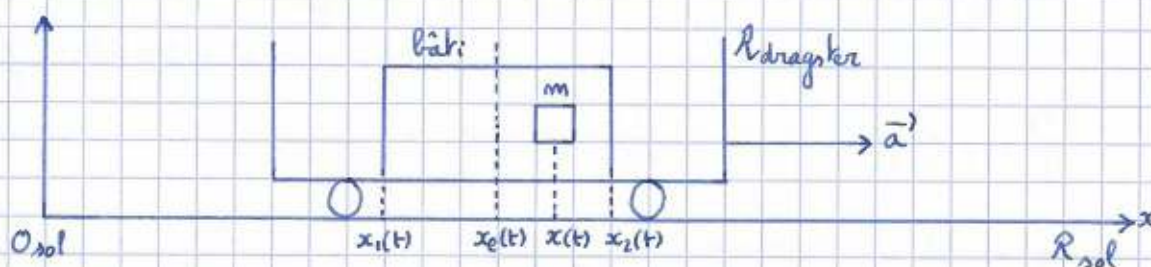


① Mesure de l'accélération par un système embarqué

I.A Analyse du mouvement mécanique



1. Les ressorts n'ont pas d'allongement à l'équilibre, donc:  $l_0 = x_e - x_1 = x_2 - x_e$

$$\begin{aligned} \text{Force exercée par le ressort de gauche: } \vec{F}_1 &= -k(x - x_1 - l_0) \hat{e}_x \\ &= -k(x - x_e) \hat{e}_x \\ &= -kL \hat{e}_x \end{aligned}$$

$$\begin{aligned} \text{Force exercée par le ressort de droite: } \vec{F}_2 &= +k(x_2 - x - l_0) \hat{e}_x \\ &= k(x_e - x) \hat{e}_x \\ &= -kL \hat{e}_x \end{aligned}$$

Donc:  $\boxed{\vec{F}_r = -2kL \hat{e}_x}$

La position relative de  $m$  par rapport au bâti est:  $x - x_e = l$

Donc la vitesse relative est:  $\dot{l} \hat{e}_x$

Les deux amortisseurs exercent donc la force:  $\boxed{\vec{F}_a = -2\mu \dot{l} \hat{e}_x}$

2. PFD à  $m$  dans  $R_{sol}$ , selon  $Ox$ :  $m\ddot{x} = -2kL - 2\mu\dot{l}$  or  $\ddot{x} = \ddot{l} + \ddot{x}_e = \ddot{l} + a$

donc:  $m\ddot{l} + 2\mu\dot{l} + 2kL = -ma$

soit:  $\boxed{\ddot{l} + 2\mu\omega_0\dot{l} + \omega_0^2 l = -a}$

3. En notation complexe:  $-\omega^2 \underline{l} + 2\mu\omega_0 j\omega \underline{l} + \omega_0^2 \underline{l} = -\underline{a}$

d'où:  $\underline{\frac{l}{a}} = \frac{-1}{\omega_0^2 - \omega^2 + 2\mu\omega_0 j\omega} = \frac{-1}{\omega_0^2(1 - \frac{\omega^2}{\omega_0^2} + j2\mu\frac{\omega}{\omega_0})}$

donc:  $\boxed{\underline{\frac{l}{a}} = \frac{-G}{1 - G\omega^2 + j2\mu\delta}}$

Le déplacement de la masse sera proportionnel à l'accélération en régime basse fréquence:  $\omega \ll \omega_0$ . On a alors:  $\underline{l} = -G\underline{a}$ .

### I-B Mesure du déplacement

4. En régime sinusoïdal forcé, le théorème de Millman donne:  $V_3 = \frac{jC_1\omega V_1 + jC_2\omega V_2 + \frac{V_s}{R}}{jC_1\omega + jC_2\omega + \frac{2}{R}}$

$$\Rightarrow (jC_1\omega + jC_2\omega + \frac{2}{R})V_3 = jC_1\omega V_1 + jC_2\omega V_2 + \frac{V_s}{R}$$

$$\text{On repasse en régime quelconque: } (C_1 + C_2)\frac{dV_3}{dt} + \frac{2V_3}{R} = C_1\frac{dV_1}{dt} + C_2\frac{dV_2}{dt} + \frac{V_s}{R}$$
$$= (C_1V_1\omega - C_2V_1\omega)\cos\omega t + \frac{V_s}{R}$$

$$\text{soit: } \frac{dV_3}{dt} + \frac{2}{R(C_1+C_2)}V_3 = \frac{C_1 - C_2}{C_1 + C_2}V_1\omega\cos\omega t + \frac{V_s}{R(C_1+C_2)}$$

$$\text{donc: } \boxed{\frac{dV_3}{dt} + \frac{V_3}{\tau} = V_2\omega\cos\omega t + \frac{V_s}{2\tau}} \quad (1)$$

- 5. Solution de l'équation sans second membre:  $V_0 e^{-t/\tau}$
- Solution particulière associée au terme constant du 2<sup>e</sup> membre:  $\frac{V_s}{2}$
- Solution particulière associée au terme sinusoïdal du 2<sup>e</sup> membre:  $\frac{1}{2} A \cos(\omega t + \varphi)$

$$\text{on reporte en notation complexe dans (1): } j\omega A e^{j\varphi} + \frac{1}{\tau} A e^{j\varphi} = V_2\omega$$

$$\text{donc: } A e^{j\varphi} = \frac{\omega\tau V_2}{1 + j\omega\tau}$$

$$\text{l'amplitude est: } A = \frac{\omega\tau V_2}{\sqrt{1 + \omega^2\tau^2}} \quad \text{la phase est: } \varphi = -\text{Arctan}(\omega\tau)$$

$$\text{donc: } \boxed{V_3(t) = V_0 e^{-t/\tau} + \frac{V_s}{2} + \frac{\omega\tau V_2}{\sqrt{1 + \omega^2\tau^2}} \cos(\omega t + \varphi)}$$

$$6. \omega\tau = 500 \gg 1 \Rightarrow A \approx V_2 \text{ et } \varphi \approx -\frac{\pi}{2} \text{ donc: } \boxed{V_3(t) = \frac{V_s}{2} + V_2 \sin\omega t}$$

7. On néglige les effets de bords  $\Rightarrow$  invariance par translation selon  $Oy$  et  $Oz$

$$\Rightarrow \vec{E}(M) = \vec{E}(x)$$

De plus  $Mx$  est un axe de symétrie des charges

$$\Rightarrow \vec{E}(M) = E(x) \vec{e}_x$$



Le théorème de Gauss appliqué à la surface qui entoure l'armature inférieure donne:

$$E(x)S = \frac{Q}{\epsilon_0} \quad \text{car } \vec{E} = \vec{0} \text{ sur la face inférieure}$$

$$\text{donc: } E(x) = \frac{Q}{\epsilon_0 S} \quad \text{puis } V_1 - V_2 = \int_0^e \vec{E} \cdot d\vec{r} = \int_0^e \frac{Q}{\epsilon_0 S} dx = \frac{Qe}{\epsilon_0 S} = \frac{Q}{C}$$

$$\text{On en déduit: } \boxed{C = \frac{\epsilon_0 S}{e}}$$

$$8. \quad \boxed{C_1 = \frac{\epsilon_0 S}{d+L}} \quad \boxed{C_2 = \frac{\epsilon_0 S}{d-L}}$$

$$9. \text{ On a: } V_2 = \frac{\frac{\epsilon_0 S}{d+L} - \frac{\epsilon_0 S}{d-L}}{\frac{\epsilon_0 S}{d+L} - \frac{\epsilon_0 S}{d-L}} V_1 = -\frac{L}{d} V_1 \quad \text{donc: } \boxed{V_3(t) = \frac{V_s}{2} - \frac{L}{d} V_1 \sin\omega t}$$

$$\begin{aligned}
 10. \quad s_1(t) &= h v_1(t) v_3(t) = h \left( \frac{1}{2} V_s + V_1 \sin \omega t \right) \left( \frac{1}{2} V_s - \frac{L}{d} V_1 \sin \omega t \right) \\
 &= h \left( \frac{V_s^2}{4} - \frac{L V_1 V_s}{2d} \sin \omega t + \frac{V_1 V_s}{2} \sin \omega t - \frac{L}{d} \frac{V_1^2 \sin^2 \omega t}{2} \right) \\
 &= h \left( \frac{V_s^2}{4} - \frac{L V_1^2}{2d} + \frac{V_1 V_s \sin \omega t}{2} \left( 1 - \frac{L}{d} \right) + \frac{L V_1^2 \cos 2\omega t}{2d} \right)
 \end{aligned}$$

Le circuit RC joue le rôle de filtre passe-bas de pulsation de coupure  $\omega_c = \frac{1}{RC} = 10^3 \text{ rad}\cdot\text{s}^{-1}$   
 On  $\omega = 10^5 \text{ rad}\cdot\text{s}^{-1} \gg \omega_c$  - Donc les termes en  $\sin \omega t$  et  $\cos 2\omega t$  sont coupés.

Il reste :  $s(t) = h \left( \frac{V_s^2}{4} - \frac{L V_1^2}{2d} \right)$

D'après la question 3:  $L = -Ga = -\frac{m}{2\ell} a$  donc:  $s(t) = h \left( \frac{V_s^2}{4} + \frac{m V_1^2}{4\ell d} a \right)$

## II Propulsion de l'engin par un réacteur d'avion

### II.A Premier principe pour un système ouvert

11. Écoulement stationnaire  $\Rightarrow$  conservation du débit massique le long d'un tube de courant

12. Premier principe à  $(\Sigma)$ :  $d(U + E_c + E_p) = \delta W + \delta Q$   $\delta Q = 0$  car parois adiabatiques

$$dU = U_{pe}(t+dt) + U_s - U_{pe}(t) - U_e = U_s - U_e \text{ car } U_{pe}(t+dt) = U_{pe}(t) \text{ en écoulement stationnaire}$$

de même:  $dE_c = E_{cs} - E_{ce}$  et  $dE_p = E_{ps} - E_{pe}$

$$\delta W = \delta W_i + \delta W_{\text{pression en avant}} + \delta W_{\text{pression en arrière}} = \delta W_i + P_e S_e dl_e - P_s S_s dl_s$$

donc:  $U_s + E_{cs} + E_{ps} - U_e - E_{ce} - E_{pe} = \delta W_i + P_e S_e dl_e - P_s S_s dl_s$

13. On note  $U_s$  et  $U_e$  les énergies internes massiques en sortie et en entrée

On a:  $S_e dl_e = \text{volume de } dm_e = dm v_e$

$S_s dl_s = \text{volume de } dm_s = dm v_s$

La relation de la question 12 devient:

$$u_s dm + \frac{1}{2} dm c_s^2 + dm g z_s - u_e dm - \frac{1}{2} dm c_e^2 - dm g z_e = \delta W_i + P_e dm v_e - P_s dm v_s$$

$$u_s + P_s v_s + \frac{1}{2} c_s^2 + g z_s - u_e - P_e v_e - \frac{1}{2} c_e^2 - g z_e = \frac{\delta W_i}{dm}$$

donc:  $h_s + \frac{1}{2} c_s^2 + g z_s - h_e - \frac{1}{2} c_e^2 - g z_e = w_i$

### II.B Force de poussée du réacteur - Étude de la tuyère

14. Gaz parfait en évolution adiabatique réversible:  $P_s^{1-\gamma} T_s^\gamma = P_e^{1-\gamma} T_e^\gamma$  (Loi de Laplace)

$\Rightarrow T_s = T_e \left( \frac{P_e}{P_s} \right)^{\frac{1-\gamma}{\gamma}}$  A.N:  $T_s = 821 \text{ K} \Rightarrow \theta_s = 547^\circ \text{C}$

15. En négligeant  $c_e$ , l'équation de la question 13 devient:  $h_s - h_e + \frac{1}{2} c_s^2 = 0$

On:  $h_s - h_e = c_p(\theta_s - \theta_e)$  donc:  $c_s = \sqrt{2c_p(\theta_e - \theta_s)}$  A.N:  $c_s = 841 \text{ m s}^{-1}$

16. Théorème de la résultante cinétique au système fermé  $\Sigma$  (air entre A et B à t)

$\frac{d\vec{P}_\Sigma}{dt} = \vec{F}_{\text{réacteur} \rightarrow \Sigma}$  (la pression atmosphérique uniforme ne donne pas de force résultante)

$\frac{dm_s \vec{c}_s - dm_e \vec{c}_e}{dt} = -\vec{F}_{\Sigma \rightarrow \text{réacteur}} = -\vec{\Pi}$  donc:  $\vec{\Pi} = Dm(\vec{c}_e - \vec{c}_s)$

A.N:  $\|\vec{\Pi}\| = 67,3 \cdot 10^3 \text{ N}$

17.  $a = \frac{\|\vec{\Pi}\|}{m}$  A.N:  $a = 63,5 \text{ m s}^{-2}$  soit:  $a = 6,47 g$

18.  $\ddot{x} = a \rightarrow \dot{x} = at$  (départ à t=0)  $\rightarrow x = a \frac{t^2}{2}$  donc  $t = \sqrt{\frac{2x}{a}}$

A.N: avec  $x = 305 \text{ m}$ , on a:  $t \approx 3,1 \text{ s}$ . On gagne 0,7s avec ce réacteur d'avion.

III Contrôle d'épaisseur de certaines pièces

III.A Contrôle d'épaisseur d'un dépôt métallique

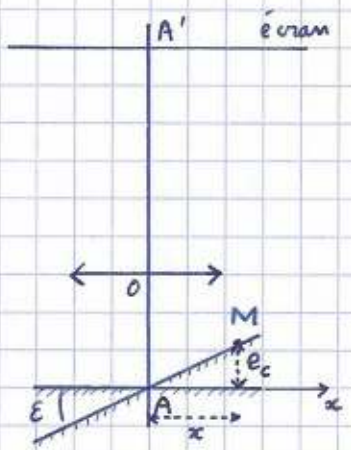
19. Système analogue à un interféromètre de Michelson en coin d'air.  
Soit  $e_c = Ex$  l'épaisseur locale du coin sans le dépôt

On a:  $\delta(M) = 2e_c = 2Ex$

L'interfrange sur le coin vérifie:  $\delta(x+i) = \delta(x) + \lambda_0$

$\Rightarrow 2E(x+i) = 2Ex + \lambda_0 \Rightarrow i = \frac{\lambda_0}{2E}$

L'interfrange sur l'écran est donc:  $d_i = |\delta| \frac{\lambda_0}{2E}$



A.N:  $\frac{1}{OA'} - \frac{1}{OA} = \frac{1}{\delta}$   $\Rightarrow \overline{OA} = -4,35 \text{ cm} \Rightarrow |\delta| = \left| \frac{OA'}{OA} \right| = 11,5 \Rightarrow d_i = 1,75 \text{ mm}$

20. Différence de marche en un point M de la zone hors dépôt:  $\delta(M) = 2Ex$

Différence de marche en un point M' de la zone avec dépôt:  $\delta(M') = 2Ex' - 2e$

Une frange correspond à une différence de marche constante:  $\delta(M) = \delta(M')$   
 $2Ex = 2Ex' - 2e$   
 $\Rightarrow x' = x + \frac{e}{E}$

Dans la zone du dépôt, les franges sont déformées sur le coin de  $\Delta x = x' - x = \frac{e}{E}$

La déformation sur l'écran est donc:  $v = |\delta| \frac{e}{E}$

A.N:  $e = 8,95 \cdot 10^{-8} \text{ m}$ . On arrive à mesurer de très faibles épaisseurs avec une méthode interférométrique.

21. La différence de marche dans la zone hors dépôt devient:  $\delta(M) = 2mEx$  ( $m = \text{indice de l'eau}$ )  
 $\Rightarrow$  l'interfrange sur le coin devient:  $i = \frac{\lambda_0}{2mE}$ . Les franges sont plus serrées mais elles sont toujours rectilignes.

Comme à la question 20:  $\delta(M) = 2mEx$   
 $\delta(M') = 2mEx' - 2e$   
 $\delta(M) = \delta(M') \Rightarrow \Delta x = x' - x = \frac{e}{mE}$

La nouvelle déformation des franges:  $v = \frac{181e}{mE}$  est plus faible que dans l'air

22. Si  $E$  augmente, l'interfrange diminue. Les franges seront plus serrées et la déformation plus faible.

III. B Mesure de l'épaisseur de la pièce transparente

23.

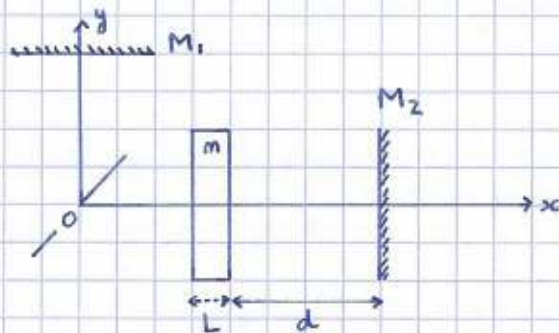
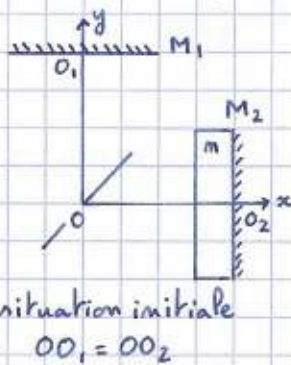
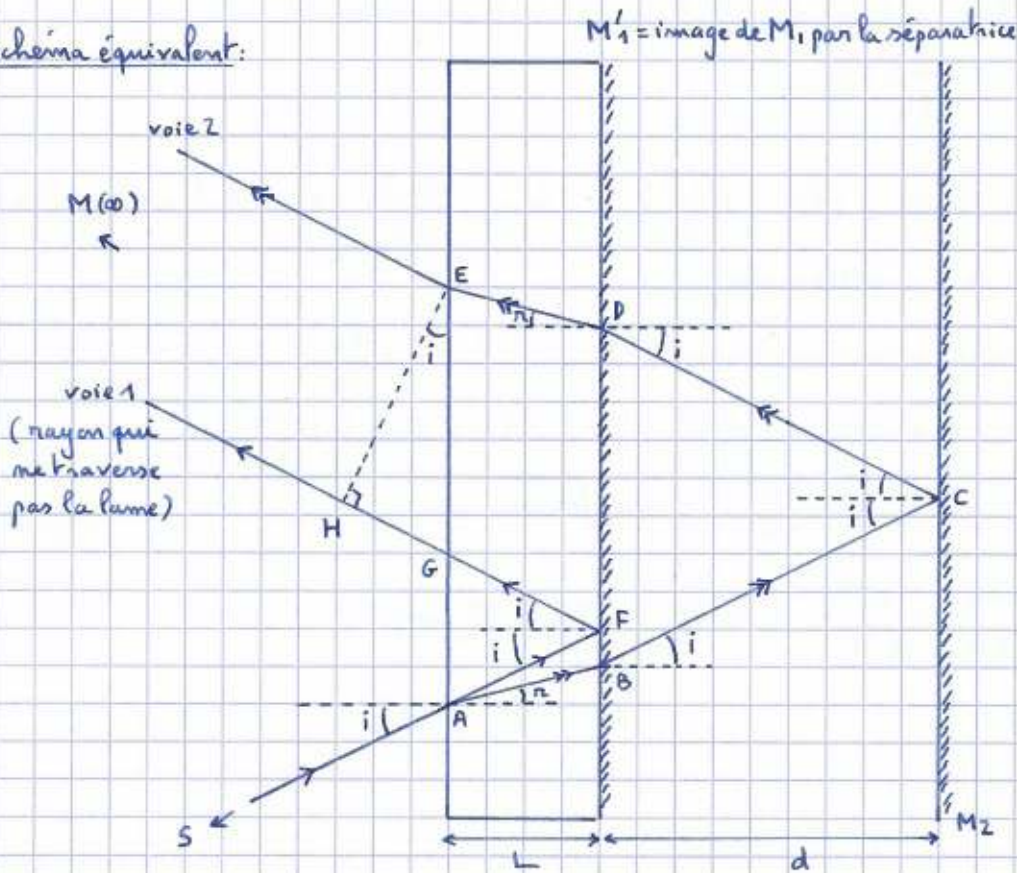


schéma équivalent:



$$AB = \frac{L}{\cos \alpha}$$

$$BC = \frac{d}{\cos i}$$

$$AF = \frac{L}{\cos i}$$

$$GH = GE \cdot \sin i$$

$$GE = AE - AG$$

$$AG = 2L \tan i$$

$$AE = 2L \tan \alpha + 2d \tan i$$

$$\delta(M) = (SM)_2 - (SM)_1 = SA + mAB + BC + CD + mED + (EM) - SA - AF - FG - GH - (HM)$$

$$= 2mAB + 2BC - 2AF - GH \quad \text{car } AB = DE \quad AF = FG \quad BC = CD$$

$$\begin{aligned} \delta(M) &= \frac{2mL}{\cos r} + \frac{2d}{\cos i} - \frac{2L}{\cos i} - \sin i (2L \tan r + 2d \tan i - 2L \tan i) \\ &= \frac{2L}{\cos r} \underbrace{(m - \sin i \sin r)}_{= m(1 - \sin^2 r)} + \frac{2d}{\cos i} \underbrace{(1 - \sin^2 i)}_{= \cos^2 i} - \frac{2L}{\cos i} \underbrace{(1 - \sin^2 i)}_{= \cos^2 i} \quad \text{or } \sin i = m \sin r \text{ (Loi de Descartes)} \end{aligned}$$

donc:  $\delta(M) = 2mL \cos r + 2(d-L) \cos i$       $A = d-L$       $B = mL$

L'observation se fait à l'infini, ou dans le plan focal image d'une lentille convergente

24. Avec des angles petits:  $\delta(M) = 2mL(1 - \frac{i^2}{2}) + 2(d-L)(1 - \frac{i^2}{2})$  et  $i \approx m r$

$$\begin{aligned} &= 2mL - mL \frac{i^2}{m^2} + 2(d-L) - (d-L) i^2 \\ &= 2mL + 2(d-L) - i^2 \left( \frac{L}{m} + d-L \right) \end{aligned}$$

On retrouve une ténite plate quand la différence de marche devient constante, i.e indépendante de  $i$ . Cela impose:

$$\frac{L}{m} + d - L = 0 \Rightarrow \boxed{L = \frac{md}{m-1}}$$

25. Quand il y a anticoïncidence, les franges brillantes de  $\lambda_2$  coïncident avec les franges sombres de  $\lambda_1$ :

$$\delta(M) = k_2 \lambda_2 = \left(k_1 + \frac{1}{2}\right) \lambda_1 \quad k_1, \text{ et } k_2 \text{ entiers}$$

$$\Rightarrow k_2 (\lambda_1 + \Delta \lambda) = \left(k_1 + \frac{1}{2}\right) \lambda_1$$

$$k_2 \Delta \lambda = \left(k_1 - k_2 + \frac{1}{2}\right) \lambda_1 \quad k_1 - k_2 = k \text{ entier}$$

$$\Rightarrow k_2 = \frac{\left(k + \frac{1}{2}\right) \lambda_1}{\Delta \lambda}$$

$$\Rightarrow \delta(M) = k_2 \lambda_2 = \left(k + \frac{1}{2}\right) \frac{\lambda_1 \lambda_2}{\Delta \lambda} \approx \left(k + \frac{1}{2}\right) \frac{\lambda m^2}{\Delta \lambda} \quad \text{quand il y a brouillage}$$

On a d'autre part:  $\delta(M) \approx 2e$

Pour la première antioïncidence:  $2e_1 = \left(k + \frac{1}{2}\right) \frac{\lambda m^2}{\Delta \lambda}$

On en compte 10 et on arrive à la 11<sup>e</sup>:  $2e_{11} = \left(k + 10 + \frac{1}{2}\right) \frac{\lambda m^2}{\Delta \lambda}$

$$\Rightarrow 2(e_{11} - e_1) = 10 \frac{\lambda m^2}{\Delta \lambda} \quad \text{par différence}$$

$$\Rightarrow \boxed{\Delta \lambda = \frac{10 \lambda m^2}{2(e_{11} - e_1)}} \quad \text{A.N: } \underline{\Delta \lambda = 0,59 \text{ mm}}$$